

INFORME DE PRUEBAS DE ANTIGEORADIC

Barcelona, 15 de octubre de 2007

ANA MARIA OLIVA BRAÑAS

Profesional experto en tecnologías GDV (Gas Discharge Visualization)

INTRODUCCIÓN

El objetivo del presente informe es mostrar los resultados de las pruebas efectuadas sobre el protector ANTIGEORADIC efectuado para el Sr.D. Garrido Rubio durante los días 3 y 7 de octubre de 2007 en Pineda de Mar (Barcelona) La hipótesis a confirmar es que el protector mencionado tiene un efecto real sobre el campo energético humano, neutralizando los efectos nocivos de 2 o más fuentes de radiaciones electromagnéticas, de geopatías y, en algunos casos, mejorando el estado de salud general. Para ello se han realizado una serie de pruebas para valorar el nivel de desarmonización que se produce en el cuerpo humano a causa de las radiaciones electromagnéticas nocivas y cómo los productos testados son capaces no sólo de neutralizarlas sino además de permitir una reconstrucción del campo energético y por tanto una mejora en todos los órganos y sistemas vitales. Para efectuar dicho estudio se ha utilizado la tecnología GDV (Gas Discharge Visualization) creada por el profesor Korotkov, una de las pocas tecnologías actuales que permite valorar cualitativa y cuantitativamente el campo energético humano y estudiar la influencia que ejerce en la salud.

I. DESCRIPCIÓN DE LA TECNOLOGÍA GDV

Los equipos GDV son cámaras digitales para ordenador empleadas para obtener imágenes de campos de energía humanos (CEH) y de objetos.

Estos campos de energía no son visibles al ojo humano, por lo que se emplea un recurso técnico para hacerlo visible. Los sistemas de bioelectrografía GDV emiten un campo electromagnético que permite visualizar aproximadamente un centímetro del campo de energía externo al cuerpo. Este campo emite en frecuencias sutiles y niveles de energía débiles.

Para poder hacerlo visible, las cámaras GDV emiten un campo electromagnético con las siguientes características:

- Alta frecuencia (1 KHz.).
- Baja intensidad,
- Alta diferencia de potencial.
- Impulsos muy cortos, del orden de milisegundos.

Este tipo de campo produce resonancia en el campo de energía humano, que se excita emitiendo fotones y electrones, y esta emisión es la que se puede fotografiar. El hecho de que los impulsos sean tan breves permite que solo se activen electrones y fotones, no existiendo movimiento de iones. De este modo se pueden estudiar las propiedades cuánticas del campo y se pueden repetir las mediciones sin que haya variaciones significativas entre ellas, si no han cambiado las condiciones a las que está sometido el sujeto. Eso permite aplicar el método científico, cosa que otras tecnologías no soportan actualmente.

Las principales características técnicas de los equipos GDV son las siguientes:

- **Lente conductora de cuarzo:** La lente es de cuarzo, y no de vidrio, porque el cuarzo es transparente a las frecuencias ultravioletas y el vidrio no. La capacidad conductora de la lente se obtiene basándose en una tecnología secreta desarrollada en una planta militar rusa.
- **Sistema óptico CCD:** Permite la captura de imágenes digitalizadas.
- **Tarjeta electrónica:** Compuesta por dos microprocesadores y unos doscientos componentes electrónicos. Genera el campo electromagnético necesario para visualizar el campo de energía humano.
- **Puerto USB multifunción:** Permite a la vez la recepción de la imágenes digitales en el ordenador, y el control completo de la cámara desde el propio ordenador.

II. DESCRIPCIÓN DE LOS PRODUCTOS

Los productos testados son :

- ANTIGEORADIC Nº 1 (color Whisky) Protege de los efectos nocivos que producen las Radiaciones Electromagnéticas de : 1 teléfono móvil y 1 ordenador (protege de dos fuentes distintas de Radiación Electromagnética) en el organismo humano y son: Estrés, Insomnio, Astenia al levantarse, Dolor de cabeza o de espalda al levantarse, Dolores reumáticos, Astenia crónica, Problemas circulatorios y cardiacos, Parestesias en las extremidades, Nerviosismo, Irritabilidad, Estado de animo depresivo, Afectación al sistema inmunológico por la dificultad en la afectación de las toxinas, Enfermedades auto inmunes, Enfermedades degenerativas, Tendencias a Neoformaciones, etc...
- ANTIGEORADIC Nº 2 (color Verde) Protege de los mismos efectos nocivos que el Nº 1 Pero además tiene la capacidad de hacer frente a las Radiaciones Electromagnéticas de: 1 móvil, 1 ordenador, 1 transformador, 1 antena parabólica, (protege de cuatro fuentes distintas de radiaciones electromagnéticas) además protege el Organismo de Virus, Bacterias y Parásitos. Elimina la Toxicidad, fortalece la Energía Vital, el sistema Inmunológico y el sistema Emocional, así como de muchísimas Enfermedades.
- ANTIGEORADIC Nº 3 (Antigeoradic) Protege de los mismos efectos nocivos y tiene las mismas cualidades que los protectores Nº 1 y Nº 2 Además, protege de todas las Geopatías, Radiaciones Telúricas y Electromagnéticas. Regenera y equilibra las Células del Organismo, Ayudando a la Autocuración del mismo. Y evitando que la Toxicidad que las Células puedan tener se produzca en estas, la agresividad que posteriormente causan muchas enfermedades en las personas y los animales.

El modelo Nº 1 tiene un alcance de protección frontal aproximadamente de 1,50 mt.

El “ Nº 2 “ “ “ “ “ “ “ “ “ “ Varios metros

El “ Nº 3 “ “ “ “ “ “ “ “ “ “ “ “ “

III. PROTOCOLO SEGUIDO

Las pruebas se han realizado sobre 9 personas adultas, aparentemente sanas, de rangos de edad entre los 16 y los 59 años, en domicilio particular. Ninguna de las personas estaba sometida a ningún tratamiento médico ni bioenergético, ni llevaba desde hacía suficiente tiempo ningún corrector energético.

El objetivo es ver cómo el protector es capaz de neutralizar los efectos nocivos de las radiaciones. Para ello se ha realizado:

- una primera medida de referencia, para ver el estado inicial de la persona.
- Posteriormente se ha tomado una nueva medida después de estar expuesta un tiempo suficiente (normalmente 20 minutos) a una o varias fuentes de radiaciones electromagnéticas.
- La tercera medida se ha tomado después de mantenerse nuevamente otro tiempo suficiente (de nuevo 20 minutos) junto a las mismas fuentes pero esta vez con el protector objeto del test. De esta manera se intenta mostrar cómo los protectores no sólo protegen de las radiaciones sino que permiten que el cuerpo se reequilibre incluso en las condiciones de exposición a radiaciones nocivas. Los resultados de este reequilibrio van a depender del tipo de protector utilizado y del estado general de la persona.

Se ha intentado que las personas estuvieran el máximo de aisladas posible de otras interferencias energéticas que puedan alterar los resultados.

Hay que hacer constar que la energía requiere de un cierto tiempo para estabilizarse, y que este tiempo también depende de cada persona. A veces se observa un efecto contrario al esperado por un corto tiempo, y después una inversión de este movimiento (por ejemplo, después de un tratamiento a veces hay una "crisis curativa" que se manifiesta como una aparente desarmonización que posteriormente se convierte en un nuevo orden más armónico que el inicial). Por ello, según el momento en que se tome la imagen, podemos estar captando una parte del proceso u otra. En general, se estima que unos 20 minutos es un período de tiempo razonable para observar resultados.

Las pruebas realizadas son las siguientes:

	EDAD	SEXO	RADIACIÓN	TIEMPO (min)	PROTECTOR	TIEMPO (min)
sujeto 1	59	masculino	Geopatía	30	ANTIGEORADIC Nº 3	30
sujeto 2	17	masculino	Geopatía	20	ANTIGEORADIC Nº 3	20
sujeto 3	54	femenino	Geopatía	30	ANTIGEORADIC Nº 3	30
					ANTIGEORADIC Nº 3	
sujeto 4	34	masculino	Geopatía	30	(variante perla SWAROSKY)	30
sujeto 5	32	masculino	4 móviles	15	ANTIGEORADIC Nº 3	15
sujeto 6	16	masculino	4 móviles	15	ANTIGEORADIC Nº 2	15
sujeto 7	30	femenino	2 móviles	20	ANTIGEORADIC Nº 1	15
sujeto 8	36	femenino	3 móviles	15	ANTIGEORADIC Nº 3	15
sujeto 9	54	femenino	3 móviles	20	ANTIGEORADIC Nº 3	20

Los móviles testados son todos de última generación, con Bluetooth, GSM,..., es decir, con un nivel de radiaciones alto.

Hay que resaltar que se está sometiendo a las personas a 2, 3 y 4 móviles simultáneamente, lo que significa un nivel de radiación realmente severo, mucho más de lo que es habitual en las condiciones cotidianas.

Las geopatías actuales testadas juntas en el lugar de las pruebas son:

- Geopatía Curry (radiación que emite la atmósfera a la tierra)
- geopatía yang (corriente subterránea de gas o aire o depósito de minerales)
- geopatía yin (corriente de agua)
- línea Hartman y cuadrícula

IV. ANÁLISIS DE LOS DATOS

La tecnología GDV incorpora un software de análisis de las imágenes obtenidas.

Hay 3 programas que analizan los datos obtenidos a través de la cámara:

- el programa ENERGY FIELD básicamente ofrece una visión cualitativa del campo energético humano, en forma de imagen (frente y dos perfiles) del aura sobre una silueta predefinida. Ello nos permite visualizar la continuidad, ver dónde están los huecos de energía y las congestiones. También nos da los valores totales de energía y de simetría entre lado izquierdo y derecho del cuerpo. Permite comparar diferentes mediciones en la misma pantalla. Los colores que aparecen corresponden a una escala graduada de niveles de energía, no siendo colores reales de las emisiones de la persona.
- el programa DIAGRAM calcula los niveles medios de energía para cada órgano y sistema, ofreciendo la información en forma de gráfico (lado derecho y lado izquierdo) y de hoja de cálculo con todos los datos numéricos. En el gráfico se pueden superponer diferentes mediciones, para una visualización rápida y eficaz de los cambios en los niveles medios de energía. Ofrece también parámetros como el índice de homeokinesis o la entropía.
- El programa VIRTUAL CHAKRA ofrece una visualización cualitativa y cuantitativa de los niveles de energía en los chakras y su desviación hacia la polaridad “masculina” o hacia la “femenina”. Los datos se pueden visualizar en forma de gráfico sobre una silueta humana (cualitativa) o en forma de líneas sobre un eje (cuantitativa), estando la doble información en la misma pantalla. También permite comparar diferentes estados energéticos, siendo muy fácil ver los cambios que han ocurrido.

V. PARÁMETROS DE VALORACIÓN

Para poder valorar los resultados obtenidos hay que tener en cuenta lo siguiente:

- Se sabe que las radiaciones no afectan por igual a todas las personas. Cada uno tenemos unos órganos o sistemas más “débiles”, que son los que primero sufren en caso de estar sometidos a situaciones de estrés. Por ello no es demasiado significativo valorar a qué órganos van las radiaciones.
- Las radiaciones son energía, por lo cual es realmente posible esperar que estar sometido a cualquier fuente de radiación repercuta en un aumento del nivel de energía del cuerpo. El incremento o disminución de la cantidad de energía no siempre es, pues, un parámetro significativo que indique una mejor salud. Además, en cuestiones energéticas, rige aquello de que “más no es siempre mejor”. Esto significa que a veces vemos mucha energía en un determinado órgano o sistema, incluso en la persona en general, que puede significar un mal flujo de la misma, una congestión energética. Dado que la energía sigue un proceso cíclico por órganos y sistemas, se considera más importante y significativo la **distribución de la energía entre órganos y sistemas**, como parámetro para ver que ese flujo se está produciendo de manera armoniosa y saludable. Cuanto mejor esté distribuida la energía, mejor están funcionando todos los órganos, y nos indica que no hay ninguno que esté en disfunción (que luego provocará una lesión o enfermedad)
- De la misma manera, cualquier sistema que reconstruya el campo energético va a intentar armonizar aquellas zonas en las que haya desequilibrio, ya sea por exceso o por defecto. Una valoración interesante será ver que el cuerpo, sometido a un estímulo rector, sea capaz de revertir los procesos de desequilibrio. A eso nos aproxima el parámetro del **índice de desequilibrio de la energía vital**. Cuanto más disminuya este índice, más cercana está al equilibrio la **energía vital** (la que permite que se lleven a cabo todos los procesos que nos mantienen vivos). Por tanto, es deseable que este índice disminuya en caso de armonización y equilibrado energético. Este parámetro es calculado en el programa Diagram, del que se adjuntan las tablas de resultados y recibe el nombre de **índice de homeokinesis (o equilibrio energético)**. Este parámetro nos indica precisamente la capacidad que tiene en ese momento de autoequilibrarse, es decir, de que un órgano que está en déficit energético pueda recibir de otro órgano la energía que le hace falta para equilibrarse. Ese parámetro es un buen indicativo de la salud general, porque nos dice qué tan preparados estamos para hacer frente a todos los

desequilibrios que se van sufriendo a lo largo del día. Es sabido que cada órgano y sistema tiene unas horas de funcionamiento pico y otras de semi-reposo. En un cuerpo saludable, esto está perfectamente equilibrado y regulado, y los propios órganos ceden y reciben energía para mantener su equilibrio. Un índice de homeokinesis (RMS en el programa Diagram, valores que se adjuntan en las tablas) entre 0 y 0.4 nos indica una buena capacidad de equilibrio energético (mejor cuanto más bajo, es decir, “mejora” significa que disminuye). A medida que este valor aumenta, la capacidad del cuerpo va disminuyendo, propiciando las congestiones o déficits energéticos en los órganos. Eso provocará una disfunción que puede llevar a una enfermedad si se sostiene demasiado en el tiempo.

- los niveles de **energía en los chakras** vuelven a indicarnos el funcionamiento de los mismos. Sabiendo que cada chakra tiene asociados unos órganos, la normalización de los valores energéticos en los chakras es un indicativo del buen funcionamiento de los órganos asociados a cada uno, y por tanto, de la salud global. Vuelvo a insistir en que lo importante no es que aumente o disminuya la cantidad de energía del chakra, sino que se normalice el nivel de energía. Tanto en el programa VIRTUAL CHAKRA como en el DIAGRAM, los valores que aparecen no son los valores globales de energía, sino la desviación de la media estadística por sexo y por edad, así que lo importante es que se acerquen al 0, patrón de referencia. Es por ello que la valoración no es “aumenta” sino “mejora” o en caso de máxima mejora, “se normaliza”, eso indica que funcionan de una manera equilibrada.
- Además, el programa nos permite cuantificar el equilibrio entre las dos polaridades (yin-yan) de cada persona, cosa que se indica como **equilibrio físico-emocional** de los chakras. Por tanto, una mejora en este parámetro significa una mejora en la integración de las dos polaridades que todos tenemos: masculino-femenino, razón-sentimiento, yang-yin, derecha-izquierda, hacer-sentir,... también eso se expresa como “simetría” en el ENERGYFIELD.
- Por último, se ha valorado la medición del programa de la energía del **sistema inmunológico**, puesto que este es uno de los parámetros significativos para los productos del test. En cualquier caso, una variación de los niveles de energía en este sistema significa que el producto es capaz de afectarlo, habiendo que hacer un análisis más profundo y global para valorar el resultado de esta variación. Para su valoración se han utilizado los valores tabulados por el programa DIAGRAM

- Todas las muestras analizadas se han realizado SIN FILTRO, es decir, sobre una lectura del campo energético asociado al mundo emocional de la persona. Eso significa que las variaciones en los niveles energéticos no sólo repercuten en la calidad de vida de su cuerpo físico, sino en el tipo de emociones que experimenta, y por tanto, en su forma de enfrentarse a los desafíos que propone el diario vivir. La valoración se ha hecho transcribiendo los valores en órganos y sistemas, y no en su traducción al mundo emocional. Por ejemplo, se podría haber valorado una mejora en la autoestima, la tristeza, o la capacidad de manejar la prisa,... en lugar de un incremento o disminución de la energía de la zona en la que ese patrón se puede observar. Creo importante resaltarlo, porque la traducción a la variación en las emociones sería objeto de otro análisis mucho más exhaustivo y complejo, pero igualmente fascinante.
- Casi todos los datos que reflejan los programas están valorados respecto a la media estadística por sexo y por edad de los valores que se consideran normales. Por tanto, valores que se aproximan a la media son considerados valores saludables, y los desequilibrios aumentan conforme nos separamos de esas medias, ya sea por exceso o por defecto. En las representaciones gráficas de los programas VIRTUAL CHAKRA y DIAGRAM, las zonas de normalidad se representan como una franja verde que tiene en su interior una línea que representa el valor medio. Siempre que nos movamos dentro de la zona verde seguimos en zona de normalidad energética. en el caso del DIAGRAM, establece una zona rosada para el déficit energético y una zona amarilla para la congestión o exceso de energía.

Dado que la muestra analizada es muy pequeña, no tiene mucho sentido hacer una valoración cuantitativa en %, puesto que no resulta significativa. Sin embargo, un análisis cualitativo sí nos puede ofrecer una primera aproximación a los efectos que dichos productos tienen sobre el campo energético humano.

No se consideran significativas variaciones inferiores a un 10%

A continuación se exponen los resultados del análisis cualitativo en función de los datos obtenidos a través de los programas ENERGY FIELD, DIAGRAM Y VIRTUAL CHAKRA.

VI. VALORACIÓN DE RESULTADOS

Se observa que los protectores analizados producen una armonización en el campo energético de la persona, que se manifiesta en un aumento o disminución de la energía en función de su estado inicial, esto es:

En caso de que la persona estuviera congestionada energéticamente se nota una disminución de la energía que le lleva a la normalización de los niveles y a una mejor circulación de la misma

En caso de que la persona tuviera un déficit energético se observa un aumento en los niveles de energía, locales o totales, que lleva a un nivel final más saludable.

También se observa que en general, hay una disminución del índice de desequilibrio de la energía vital.

La energía de los chakras queda en un estado final de mayor equilibrio, tanto en los niveles de energía como en el equilibrio físico – emocional.

En concreto, los resultados para cada sujeto son los siguientes:

	Energía vital	Distribución energía en órganos y sistemas	Índice de homeokinesis	Energía en chakras	Equilibrio físico – emocional de chakras	Sistema inmunológico
2	Aumenta levemente	Mejora	Mejora	Mejora	Se normaliza	aumenta
3	Se mantiene	Mejora	Se mantiene	Se normaliza	Desviación hacia lado físico	aumenta
4	Se mantiene	Mejora	Mejora	Se normaliza	Se normaliza	Igual
5	Aumenta 21%	Mejora	Mejora	Se normaliza	Se normaliza	aumenta
6	Aumenta levemente	Mejora	Mejora	Se normaliza	Aumenta equilibrio	Aumenta
7	Se mantiene	Mejora	Mejora	Se normaliza	Se normaliza	Aumenta
8	Aumenta levemente	Mejora	Mejora	Se normaliza	Se normaliza	Aumenta
9	Aumenta un 30%	Mejora	Mejora	Se normaliza	Se normaliza	Aumenta

VII. CONCLUSIONES

Los productos testados modifican el campo de energía de las personas, propiciando su equilibrio aun en presencia de fuentes de radiaciones electromagnéticas severas.

En general, se produce una mejora cualitativa en la distribución de la energía en órganos y sistemas y en los chakras. También se observa un aumento del equilibrio de la energía vital, y una variación energética en el sistema inmunológico.

Sería necesario analizar una muestra mayor para poder obtener resultados cuantitativamente significativos.

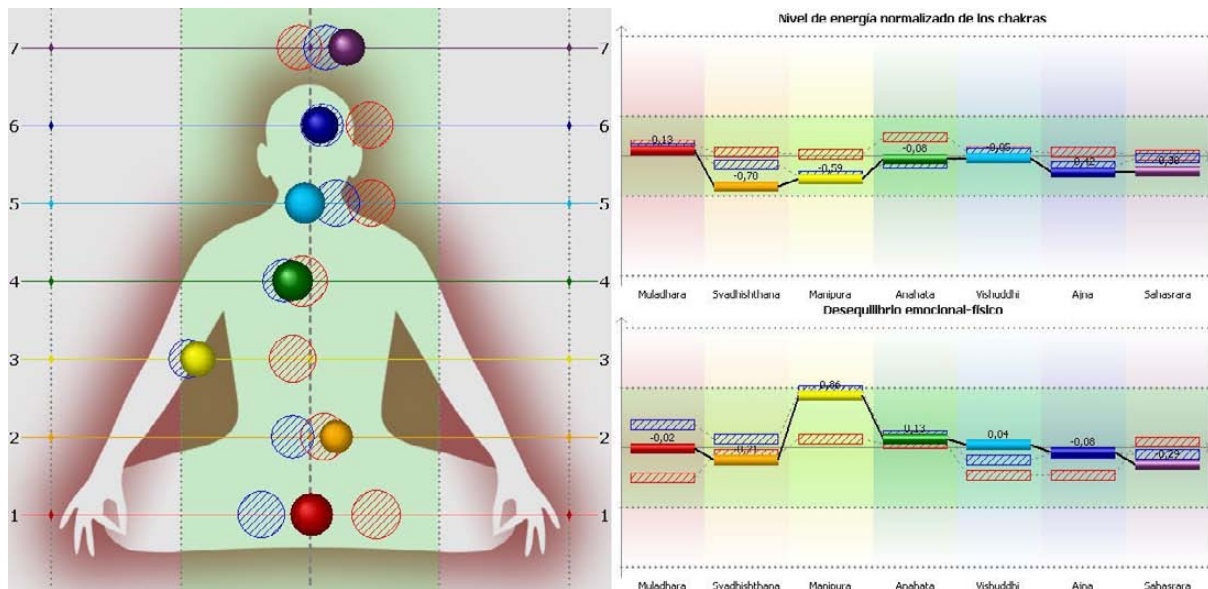
ANA MARÍA OLIVA

DATOS

Para todos los sujetos, las gráficas rojas reflejan el estado inicial, las azules el estado después de estar sometido a las fuentes de radiaciones correspondientes, y las verdes después de seguir sometido a las mismas radiaciones pero en este caso con el protector.

Es importante remarcar que los valores representados son VALORES MEDIOS, por tanto, son significativos en cuanto las medias son altas o bajas. Medias “normales” no siempre significan una distribución “normal” dentro de ese mismo órgano.

SUJETO 1



La radicación (en azul) le provoca una disminución de los niveles de energía en casi todos los chakras respecto del valor inicial (en rojo), así como un cambio en la polaridad, afectando especialmente al 3º chakra. En este caso, el protector le produce un efecto armonizador sólo en algunos chakras como el 1º o el 5º.

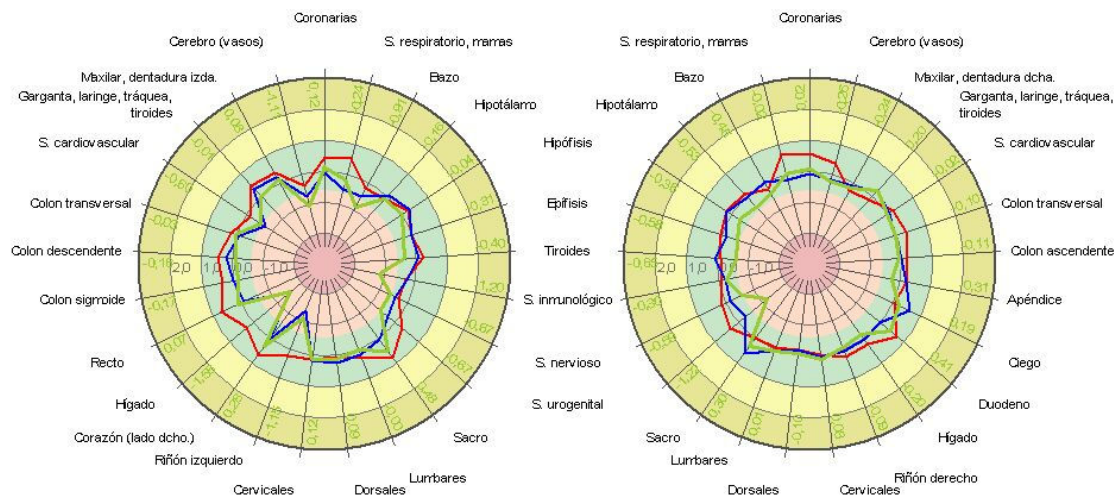
SUJETO 1

Los órganos y sistemas más afectados por la radiación son el hígado y el riñón que entran en zona de déficit energético. Es remarcable como las radiaciones agravan las tendencias del propio organismo (agudizan los picos del diagrama). El protector en este caso no parece mejorar estos picos, incluso en algunos casos continúa agravándose (sacro lado derecho). Este es el único caso en que tal situación se da, considerándolo por tanto un caso anómalo en el estudio.

GDV Diagram

Lado izquierdo

Lado derecho



JS(RMS)
-0,33 (0,53)

JS(RMS)
-0,20 (0,35)

Los diagramas muestran los valores de:
sujeto 1 - DOMINGO DESPUES GEOPATIA CO PROTECTOR - Imágenes GDV sin filtro

NP		JS izquierdo	RMS izquierdo	JS derecho	RMS derecho	Activación
1	sujeto 1 - DOMINGO ANTES GEOPATIA - Imágenes GDV sin filtro	0,17	0,32	0,10	0,26	
2	sujeto 1 - DOMINGO DESPUES GEOPATIA - Imágenes GDV sin filtro	-0,22	0,48	-0,02	0,22	
3	sujeto 1 - DOMINGO DESPUES GEOPATIA CO PROTECTOR - Imágenes GDV sin filtro	-0,33	0,53	-0,20	0,35	

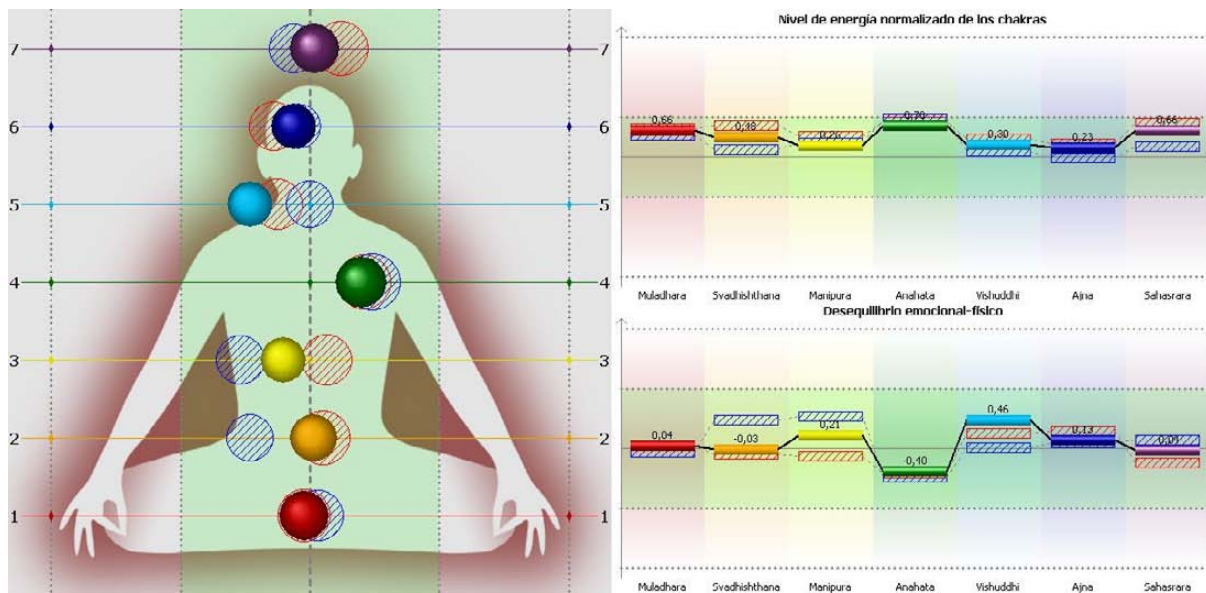
© Kirilonic Technologies International

SUJETO 2

Partíamos de una situación de los chakras congestionada (con nivel de energía un poco alto) y relativamente equilibrada. Las radiaciones le producen una pérdida del nivel de energía y un desequilibrio considerable en la polaridad.

El efecto del protector consigue recuperar los valores energéticos, posicionándolos en un valor intermedio más cercano a la normalidad que la inicial (habría que valorar el efecto del tiempo sobre estos valores, esto es, si en caso de que la prueba hubiera durado más se habrían vuelto a alcanzar los valores iniciales o se estabilizarían en un punto cercano al equilibrio).

En cuanto al desequilibrio emocional-físico, también se recuperan parte de lo perdido a causa de la radiación.



SUJETO 2

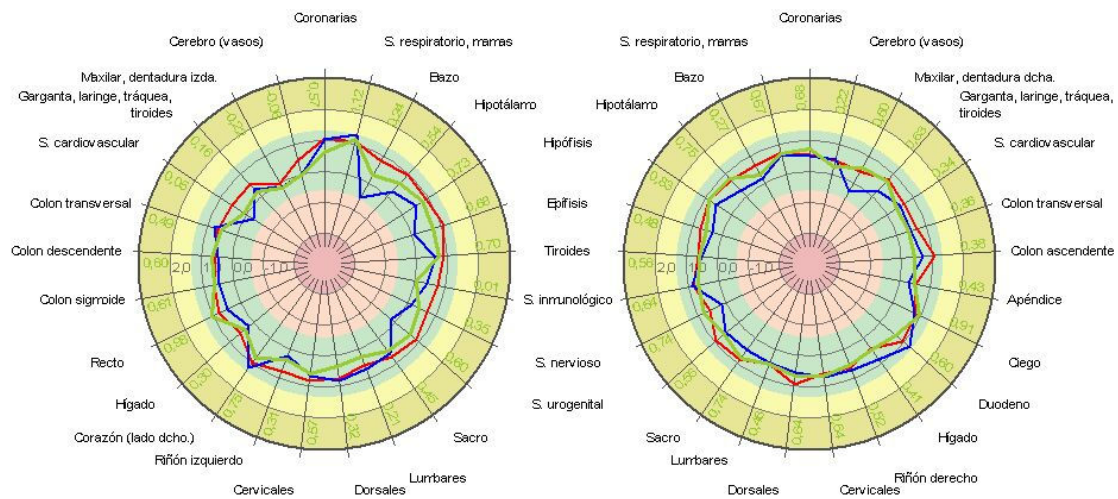
A nivel de los órganos y sistemas, la radiación le afecta principalmente al bazo, al sistema cardiovascular, sistema urogenital, epífisis y maxilar en cuanto a disminución de la energía, ya a sistema respiratorio, corazón e intestino delgado en cuanto a congestión.

En ambos casos la imagen con el protector muestra niveles más equilibrados en la distribución de la energía (picos más suaves), recuperando un estado bastante similar al inicial.

GDV Diagram

Lado izquierdo

Lado derecho



JS(RMS)
0,44 (0,32)

JS(RMS)
0,56 (0,17)

Los diagramas muestran los valores de:
sujeto 2 - DOMINGO DESRUÉS GEOPATIA CON PROTECTOR - Imágenes GDV sin filtro

NP		JS izquierdo	RMS izquierdo	JS derecho	RMS derecho	Activación
1	sujeto 2 - DOMINGO - Imágenes GDV sin filtro	0,69	0,24	0,66	0,17	
2	sujeto 2 - DOMINGO DESRUÉS GEOPATIA - Imágenes GDV sin filtro	0,37	0,45	0,46	0,30	
3	sujeto 2 - DOMINGO DESRUÉS GEOPATIA CON PROTECTOR - Imágenes GDV sin filtro	0,44	0,32	0,56	0,17	

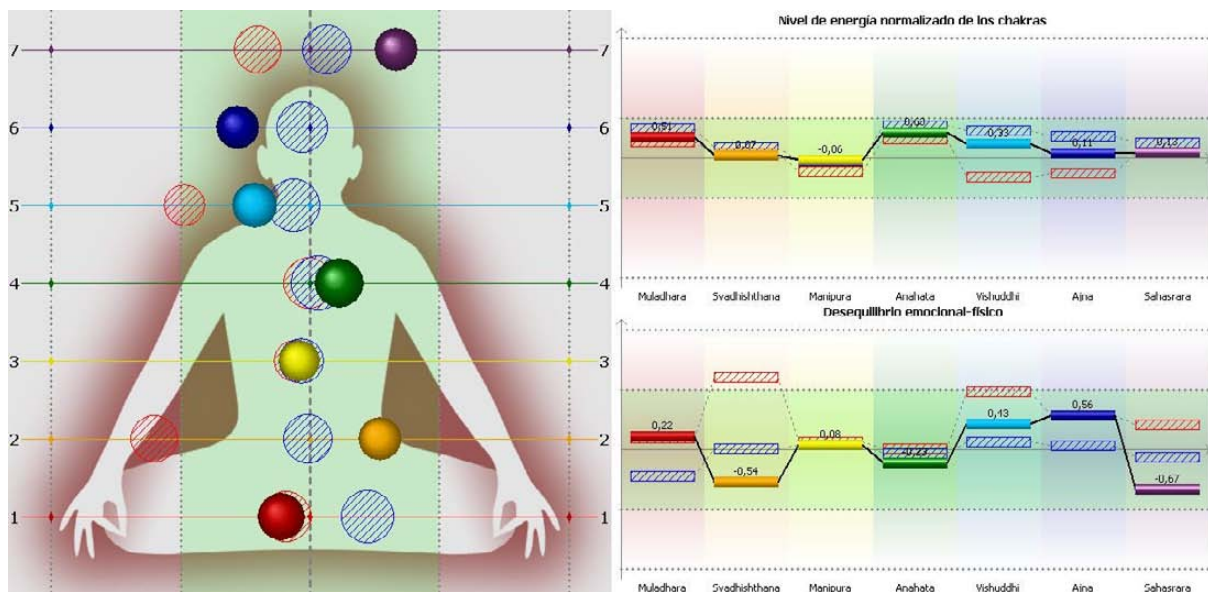
©Kirilonic Technologies International

SUJETO 3

Partimos de un estado con los chakras en desequilibrio, tanto en cuanto a sus niveles de energía como en la polaridad.

El efecto de las radiaciones supone un aumento de la energía en los chakras (y por tanto de desequilibrio, pues los congestiona), y sin embargo, una mejora en la polaridad.

Después del protector, observamos que el nivel de energía en los chakras se normaliza, quedando en un valor más cercano al equilibrio (casi totalmente equilibrados), mientras que la polaridad se vuelve a perder, aunque no alcanza los valores de desequilibrio inicial.



SUJETO 3

Partimos de un estado inicial con algunos órganos cercanos al déficit energético (zona de la garganta, sistema urogenital, riñones, bazo) y con otras cercanas a la congestión (zona del corazón y coronarias).

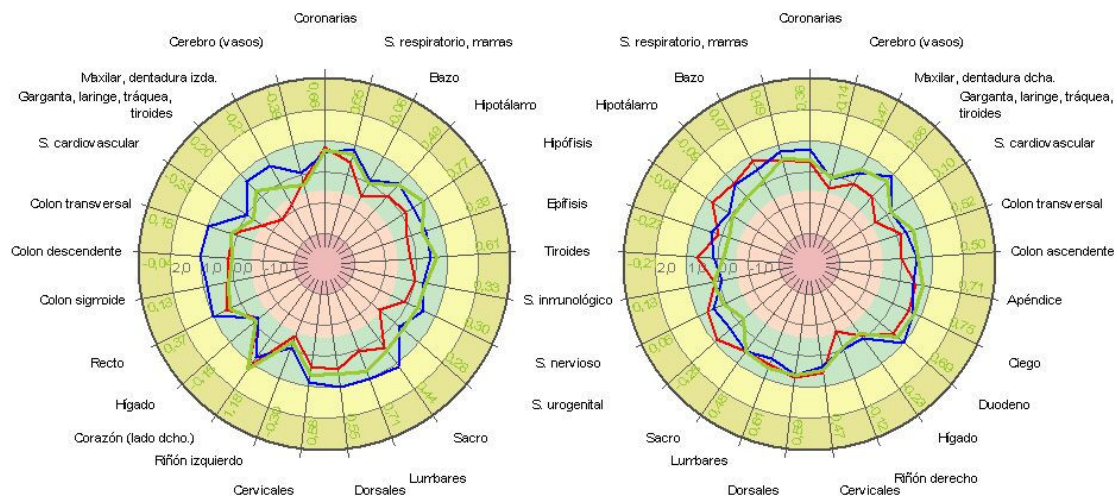
El efecto de las radiaciones provoca una congestión en casi todos los sistemas, especialmente en la zona del intestino (delgado y grueso) y de la columna.

El protector recupera y normaliza algunos valores, dejando un estado más cercano al equilibrio, excepto en la zona del corazón, que se mantiene congestionada, cosa que debe ser propia de la persona, puesto que no varían apenas en los tres casos.

GDV Diagram

Lado izquierdo

Lado derecho



JS(RMS)
0,29 (0,39)

JS(RMS)
0,25 (0,35)

Los diagramas muestran los valores de:
sujeto 3 - DESPUES GEOPATIA Y PROTECTOR - Imágenes GDV sin filtro

NP		JS izquierdo	RMS izquierdo	JS derecho	RMS derecho	Activación
1	sujeto 3 - DOMINGO1 - Imágenes GDV sin filtro	-0,04	0,50	0,27	0,42	
2	sujeto 3 - 20 MINUTOS GEOPATIA - Imágenes GDV sin filtro	0,53	0,39	0,35	0,31	
3	sujeto 3 - DESPUES GEOPATIA Y PROTECTOR - Imágenes GDV sin filtro	0,29	0,39	0,25	0,35	

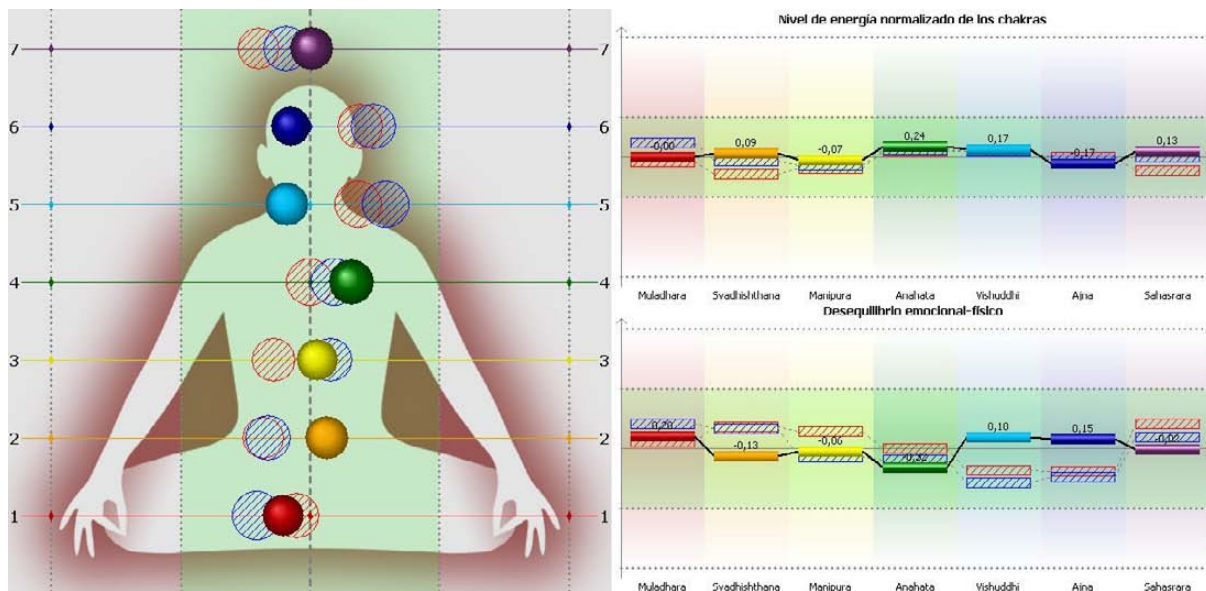
© Kirilonic Technologies International

SUJETO 4

Este sujeto parte de una situación inicial con algunos chakras con un nivel de energía un poco bajos y un cierto nivel de desequilibrio emocional-físico.

En este caso, las radiaciones le producen un incremento en casi todos los niveles de energía, y (excepto en los chakras 3 y 4), un aumento del desequilibrio en la polaridad.

El protector normaliza los valores energéticos, disminuyendo los que estaban altos y aumentando los que estaban bajos, y mejorando los valores del equilibrio en la polaridad.



SUJETO 4

Los valores energéticos iniciales están todos en la normalidad, un poco por debajo de la media, observándose tan solo unos niveles ligeramente inferiores en bazo y sistema urogenital.

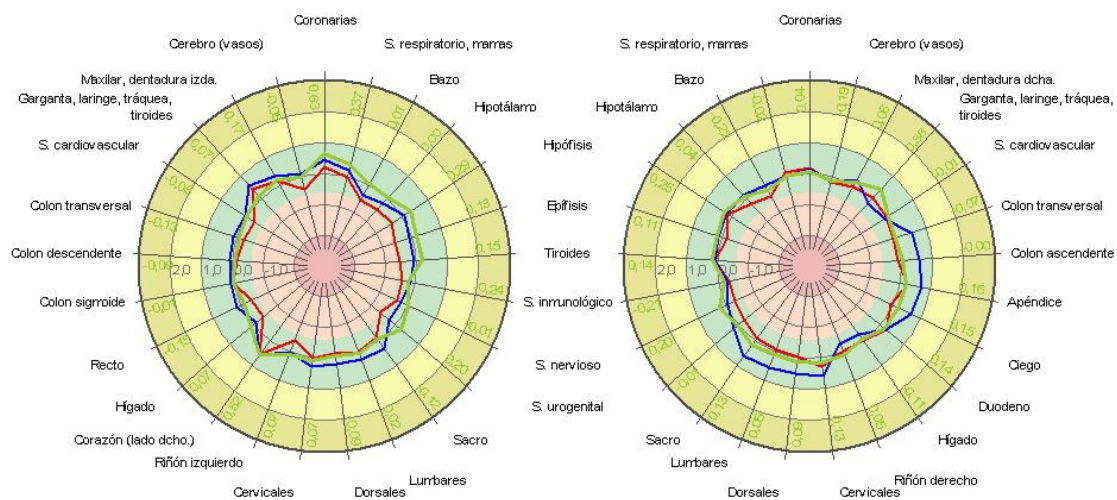
Las radiaciones producen un incremento de la energía, sobrecargando el intestino grueso y la columna

El efecto del protector conserva el aumento de la energía, dejándolo más cercano a la línea media de lo que estaba inicialmente, y eliminando la sobrecarga citada.

GDV Diagram

Lado izquierdo

Lado derecho



JS(RMS)
0,07 (0,21)

JS(RMS)
0,05 (0,14)

Los diagramas muestran los valores de:
sujeto 4 - despues geopatía con perla - Imágenes GDV sin filtro

NP		JS izquierdo	RMS izquierdo	JS derecho	RMS derecho	Activación
1	sujeto 4 - FRIVERA - Imágenes GDV sin filtro	-0,24	0,31	-0,09	0,19	
2	sujeto 4 - despues geopatía - Imágenes GDV sin filtro	0,06	0,25	0,15	0,33	
3	sujeto 4 - despues geopatía con perla - Imágenes GDV sin filtro	0,07	0,21	0,05	0,14	

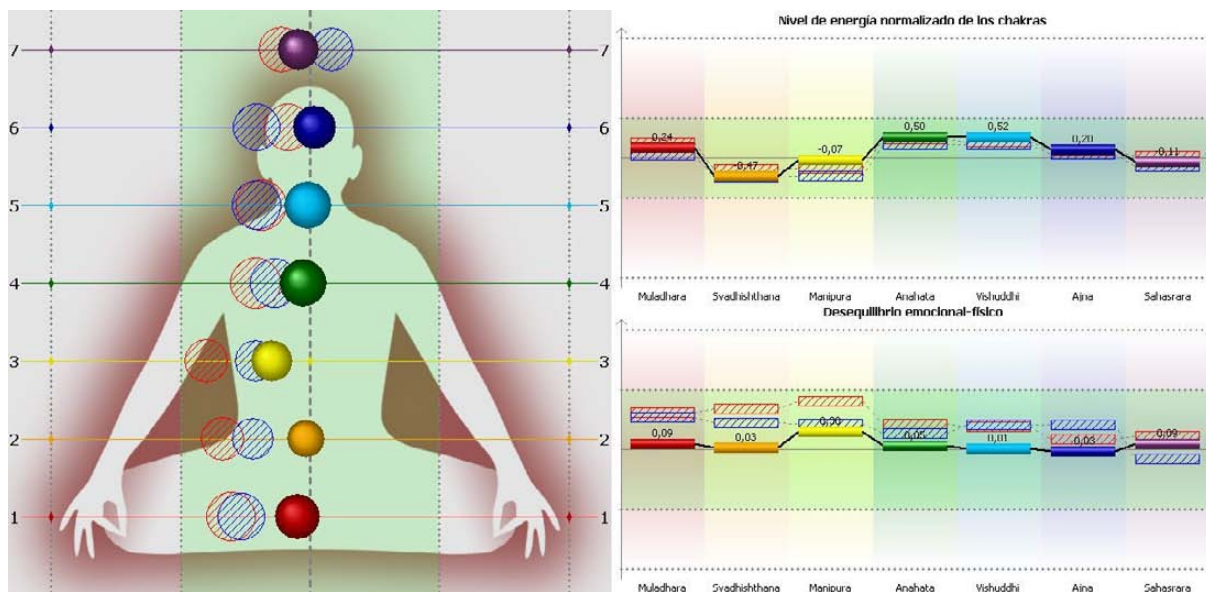
©Kirilonic Technologies International

SUJETO 5

El estado inicial del sujeto 5 es de un nivel energético bastante cercano a la media, y con un cierto desequilibrio hacia la polaridad del lado físico (derecho, yan)

El efecto de las radiaciones disminuye todos los valores de energía de los chakras de una manera no demasiado importante, pues sigue cercano a la media. Disminuye también el desequilibrio de la polaridad ligeramente, aunque siguen todos en “zona física”, es decir, desplazado el equilibrio hacia la zona derecha.

Después del protector, los niveles de energía aumentan ligeramente, quedando un poco por encima de los valores iniciales, y también un poco por encima de la media, mientras que se corrige el desequilibrio en la polaridad.



SUJETO 5

Los valores iniciales de la energía en órganos y sistemas muestran básicamente que bazo y riñón izquierdo están en cierto déficit mientras que el sacro , el sistema respiratorio y el ciego están cercanos a la congestión.

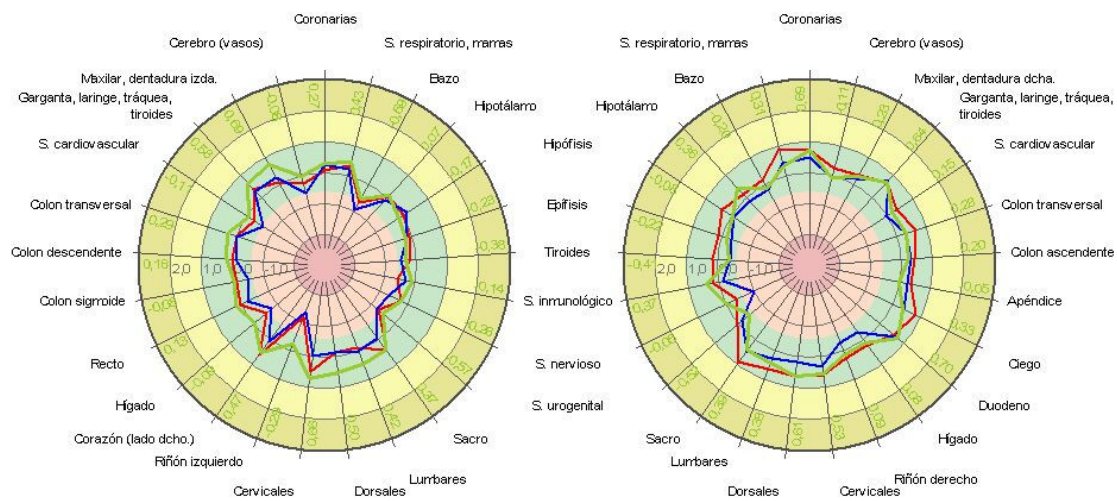
El efecto de la radiación agrava los patrones existentes en general en todos los órganos (ver cómo se agudizan los picos), desviándolos hacia el déficit y haciendo que algunos valores disminuyan importantemente, como es el caso del sistema nervioso.

Después del uso del protector, se normalizan muchos valores, excepto en el caso del ciego, coronarias, maxilar o columna que mantienen una cierta sobrecarga.

GDV Diagram

Lado izquierdo

Lado derecho



JS(RMS)
0,08 (0,37)

JS(RMS)
0,19 (0,33)

Los diagramas muestran los valores de:
sujeto 5 - DESPUES MOVILES PROTECTOR - Irrágenes GDV sin filtro

NP		JS izquierdo	RMS izquierdo	JS derecho	RMS derecho	Activación
1	sujeto 5 - FRIVERO - Irrágenes GDV sin filtro	-0,14	0,41	0,36	0,30	
2	sujeto 5 - DESPUES MOVILES - Irrágenes GDV sin filtro	-0,30	0,43	0,04	0,39	
3	sujeto 5 - DESPUES MOVILES PROTECTOR - Irrágenes GDV sin filtro	0,08	0,37	0,19	0,33	

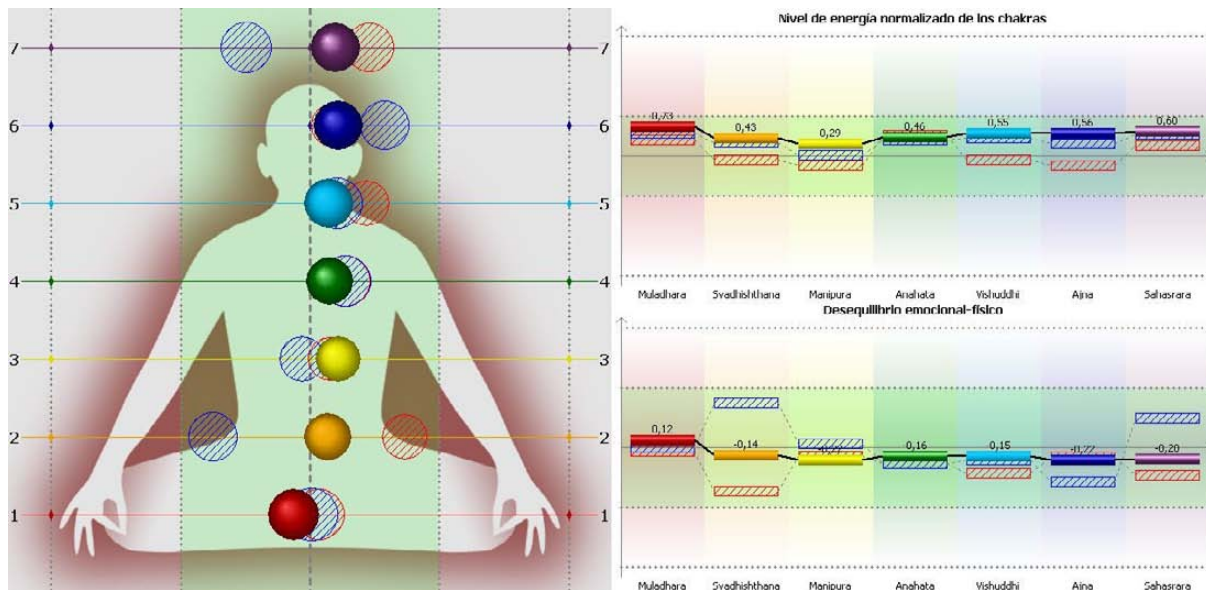
©Kirlionics Technologies International

SUJETO 6

Partimos de un estado inicial con los chakras bastante equilibrados en cuanto a nivel energético, y con un cierto desplazamiento hacia el lado izquierdo, muy suave excepto en el caso del 2º chakra.

El efecto de las radiaciones aumenta el nivel de energía en general de todos ellos, en este caso de una manera equilibrada, pero influye muy negativamente en el equilibrio emocional – físico.

Después del uso del protector, los niveles de energía han continuado aumentando, alejándonos de la media aunque de forma igual para todos los chakras. Se observa un importante re-equilibramiento de la polaridad emocional-física, quedando todos los chakras prácticamente alineados.



SUJETO 6

Este sujeto parte de una situación inicial con cierta sobrecarga en la zona del corazón y ligero déficit en tiroides.

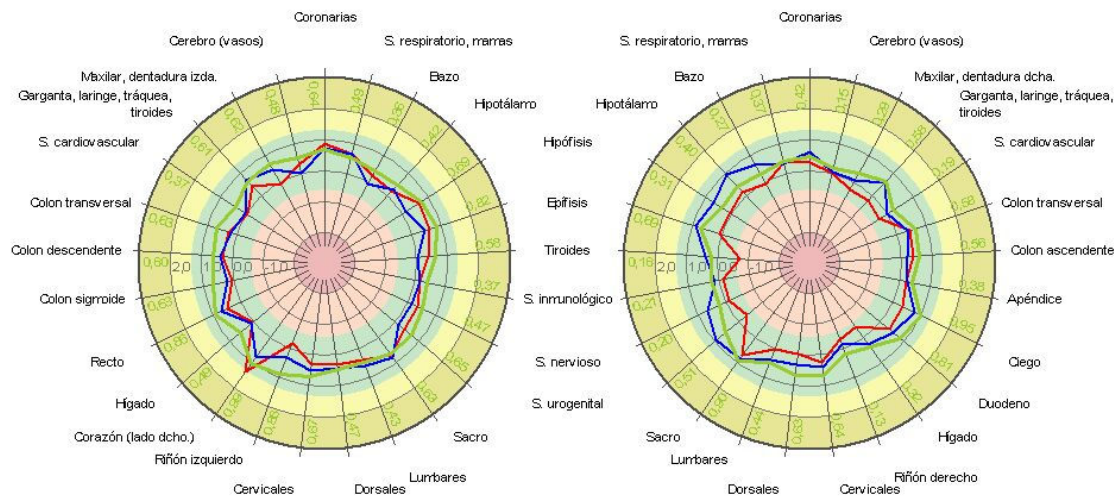
Después de las radiaciones, los niveles de energía del lado izquierdo se han quedado prácticamente igual (nótese la disminución en el pico del corazón), mientras que el lado derecho ha entrado en una zona de mayor congestión (manteniéndose siempre en la normalidad).

Después del uso del protector, los niveles de energía globales han aumentado, acercándose más a la congestión, mientras que se observa una suavización en los picos que indica una mejor distribución de la energía en órganos y sistemas. De hecho, desaparecen los picos iniciales.

GDV Diagram

Lado izquierdo

Lado derecho



JS(RMS)
0,59 (0,17)

JS(RMS)
0,44 (0,24)

Los diagramas muestran los valores de:
sujeto 6 - PROTECTOR MAS MOVIL - Imágenes GDV sin filtro

NP		JS izquierdo	RMS izquierdo	JS derecho	RMS derecho	Activación
1	sujeto 6 - PRIMERA - Imágenes GDV sin filtro	0,33	0,32	-0,00	0,33	
2	sujeto 6 - DESPUES MOVILES - Imágenes GDV sin filtro	0,31	0,26	0,41	0,30	
3	sujeto 6 - PROTECTOR MAS MOVIL - Imágenes GDV sin filtro	0,59	0,17	0,44	0,24	

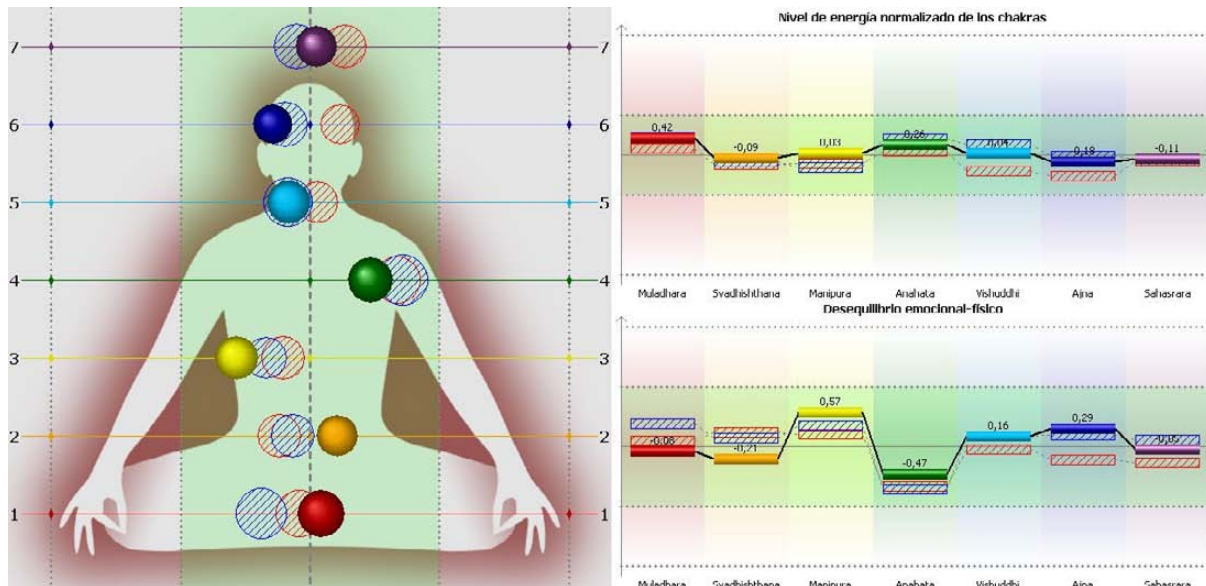
©Kirionics Technologies International

SUJETO 7

Los valores iniciales del sujeto son bajos en el caso del 5º y 6º chakra, aunque dentro de la normalidad. El equilibrio inicial es bueno excepto en el caso del 4º chakra, que está notablemente desviado hacia la izquierda (lado emocional)

El efecto de la radiación viene a disminuir algunos niveles (3º chakra) y a aumentar sutilmente los demás, de una manera no significativa.

Después del uso del protector, los niveles energéticos se mantienen muy cercanos a las medias (es decir, al valor considerado como "saludable". Se producen variaciones en el equilibrio de las polaridades, aunque no se produce claramente una mejora.



SUJETO 7

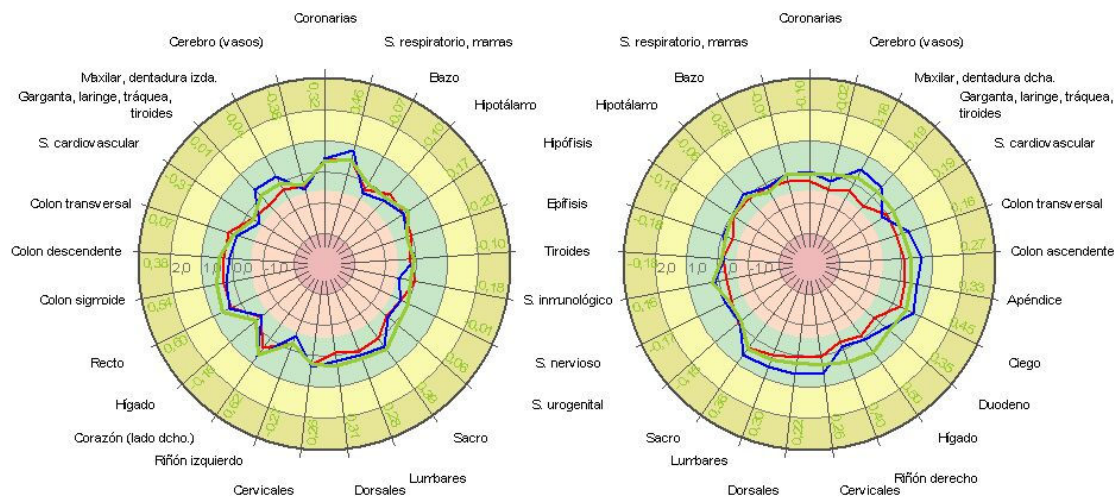
Esta persona tiene unas puntas características en la distribución de su energía que no se ven alteradas ni por las radiaciones ni por el posterior uso del protector, lo cual indica que es un patrón energético propio.

Al margen de las zonas anteriores, se observa cómo las radiaciones le producen una congestión en vías respiratorias y en zona de la columna y cómo el posterior uso del protector disminuye este valor. También se observa cómo el protector incrementa el nivel de energía en otros sectores como los intestinos.

GDV Diagram

Lado izquierdo

Lado derecho



JS(RMS)
0,11 (0,29)

JS(RMS)
0,12 (0,23)

Los diagramas muestran los valores de:
sujeto 7 - PROTECTOR MAS MOVILES - Imágenes GDV sin filtro

NP		JS izquierdo	RMS izquierdo	JS derecho	RMS derecho	Activación
1	sujeto 7 - FRIVERA - Imágenes GDV sin filtro	-0,03	0,28	-0,14	0,22	
2	sujeto 7 - 20 MINUTOS MOVILES - Imágenes GDV sin filtro	-0,01	0,38	0,17	0,32	
3	sujeto 7 - PROTECTOR MAS MOVILES - Imágenes GDV sin filtro	0,11	0,29	0,12	0,23	

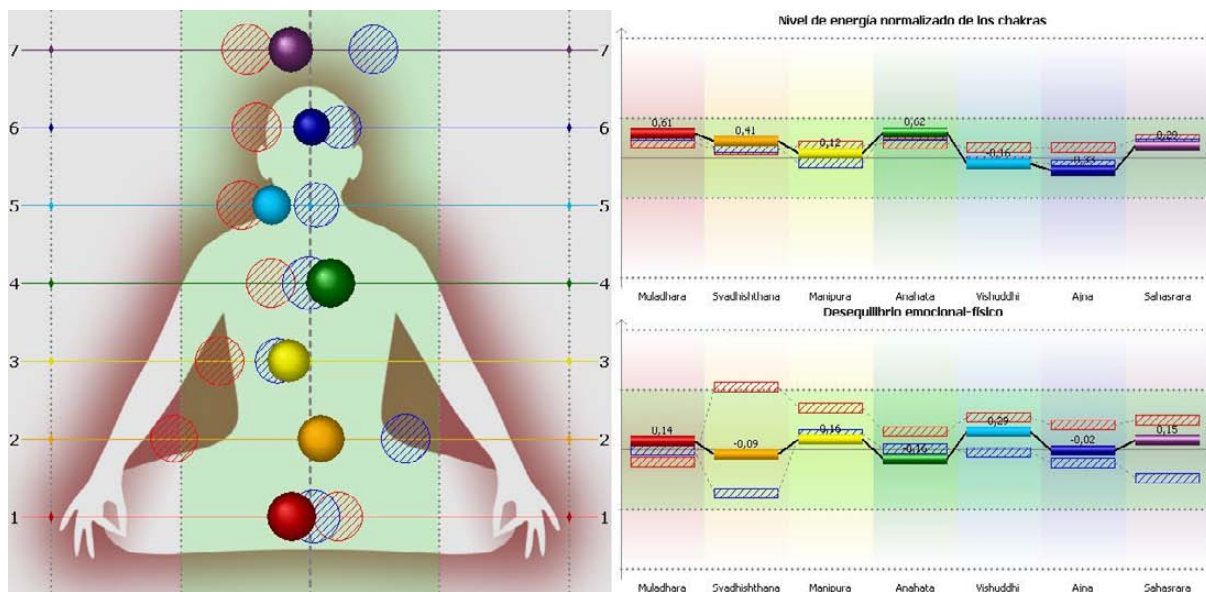
© Kirilions Technologies International

SUJETO 8

El punto de partida del sujeto 8 es de unos niveles energéticos normales y equilibrados, aunque con cierto desequilibrio en la polaridad, especialmente en el 2º chakra, que incluso se escapa de la zona considerada como “normal”.

La exposición a las radiaciones produce un descenso en los niveles de energía, especialmente en el 3er chakra, y un desplazamiento de la polaridad hacia el lado izquierdo.

El uso del protector modifica los niveles de energía, de forma que quedan un poco más fuera del equilibrio de lo que estaba inicialmente, y sin embargo mejora el equilibrio entre las dos polaridades.



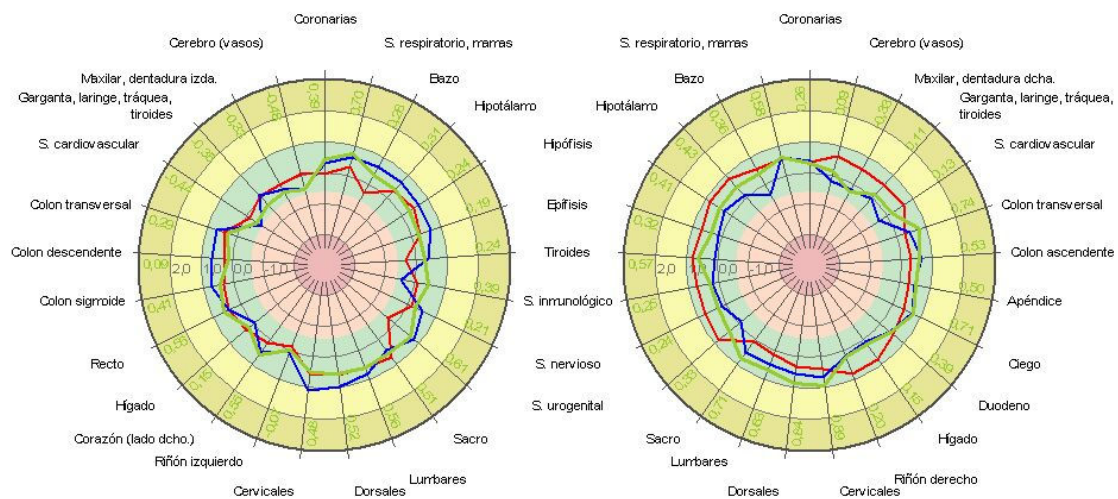
SUJETO 8

Partimos de una situación de cierta congestión en el lado derecho del cuerpo. La exposición a las radiaciones supone una congestión en la parte correspondiente a la columna y el intestino grueso, y una alteración en el sistema endocrino. Después del uso del protector, disminuyen un poco estos niveles de congestión excepto en el caso de la columna (lado derecho) que se incrementan los valores, quedando el campo ligeramente congestionado.

GDV Diagram

Lado izquierdo

Lado derecho



JS(RMS)
0,24 (0,34)

JS(RMS)
0,40 (0,28)

Los diagramas muestran los valores de:
sujeto 8 - DESPUES MOVILES CON PROTECTOR - Imágenes GDV sin filtro

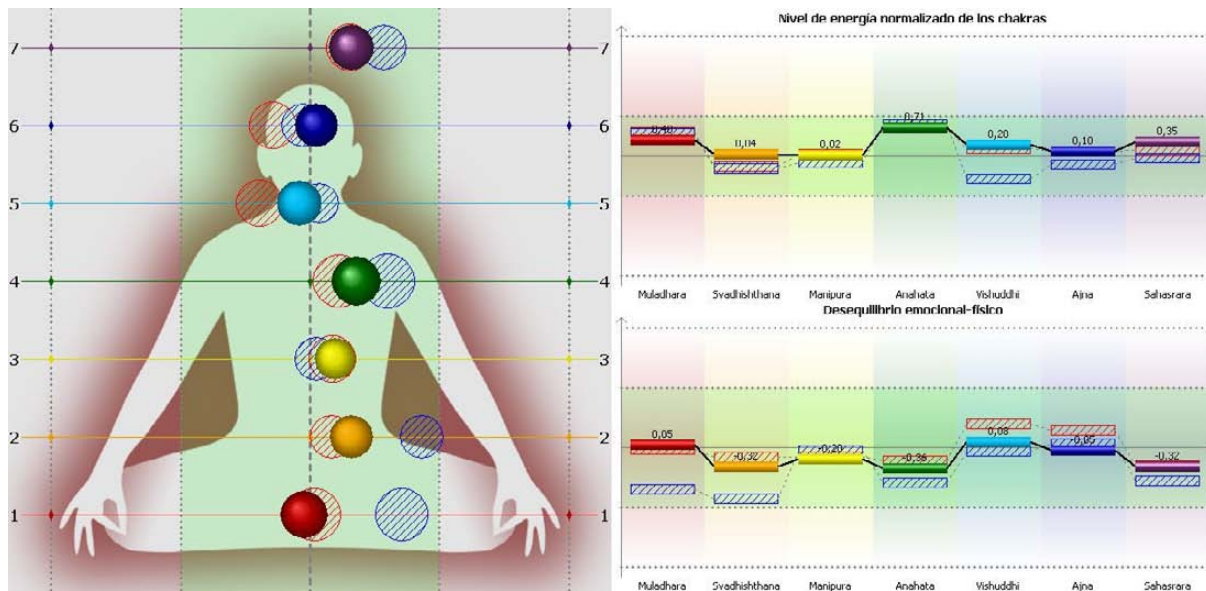
NP		JS izquierdo	RMS izquierdo	JS derecho	RMS derecho	Activación
1	sujeto 8 - PRIMERA - Imágenes GDV sin filtro	0,15	0,30	0,51	0,23	
2	sujeto 8 - DESPUES MOVILES - Imágenes GDV sin filtro	0,36	0,45	0,20	0,32	
3	sujeto 8 - DESPUES MOVILES CON PROTECTOR - Imágenes GDV sin filtro	0,24	0,34	0,40	0,28	

©Kirionics Technologies International

SUJETO 9

Se observa que el punto de partida y el de después del uso del protector en cuanto a niveles de energía son prácticamente idénticos, es decir, que el descenso del nivel de energía en los chakras producido tras la exposición a las fuentes de radiación queda anulado por el uso del protector.

En cuanto al desequilibrio hacia la parte derecha o izquierda, que había sido grandemente modificado por las radiaciones, recupera casi los niveles iniciales, y en algunos casos (chakra 5º y 6º) incluso mejora, mientras que en 1º, 2º y 4º quedan un poco desviados, de forma apenas significativa.



SUJETO 9

Los niveles energéticos iniciales marcan una cierta congestión en el campo, especialmente en el lado izquierdo.

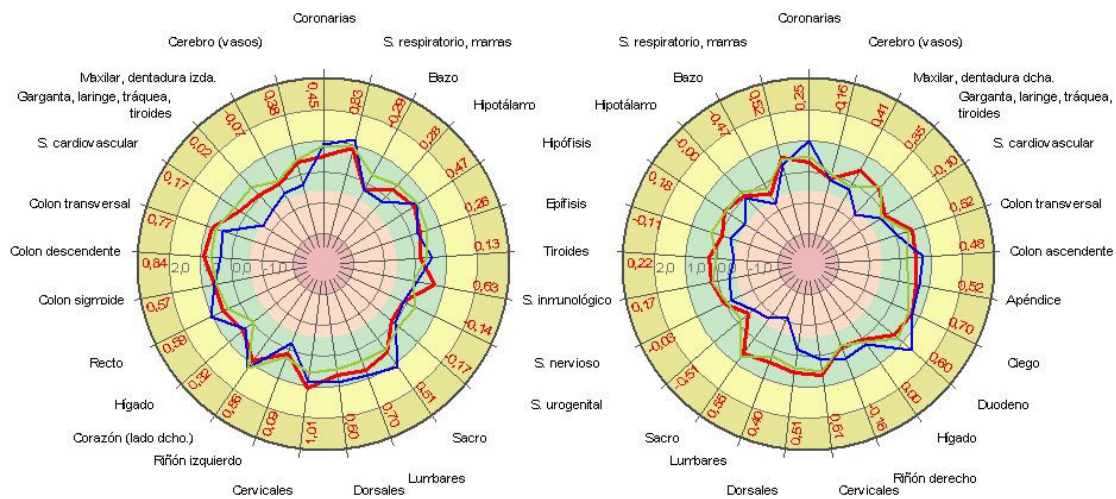
La energía se descompensa bastante tras someterse a la radiación, congestionándose especialmente el duodeno, el sacro y entrando en déficit energético la garganta y parte de sistema circulatorio.

El uso del protector nos deja un campo casi exactamente igual al inicial, aunque no corrige los patrones de desequilibrio que teníamos en el origen.

GDV Diagram

Lado izquierdo

Lado derecho



JS(RMS)
0,39 (0,36)

JS(RMS)
0,22 (0,34)

Los diagramas muestran los valores de:
sujeto 9 - INCO - Imágenes GDV sin filtro

NP		JS izquierdo	RMS izquierdo	JS derecho	RMS derecho	Activación
1	sujeto 9 - INCO - Imágenes GDV sin filtro	0,39	0,36	0,22	0,34	
2	sujeto 9 - DESPUES MOVILES - Imágenes GDV sin filtro	0,30	0,58	-0,10	0,62	
3	sujeto 9 - DESPUES MOVIL CON PROTECCION - Imágenes GDV sin filtro	0,42	0,27	0,19	0,29	

©Kirilions Technologies International